

ЛИНЕЙНАЯ ЗАДАЧА О ДВИЖЕНИИ ПРОФИЛЯ ПОД ГРАНИЦЕЙ РАЗДЕЛА ДВУХ ТЯЖЕЛЫХ ЖИДКОСТЕЙ

УДК 532.59

Д. Н. Горелов, С. И. Горлов

Институт информационных технологий и прикладной математики СО РАН,
644077 Омск

Задача о движении профиля под границей раздела двух сред имеет широкие практические приложения и привлекает внимание многих авторов. Систематическое изложение результатов исследований в этой области дано в [1]. В подавляющем числе работ рассматривается линейная задача о движении профиля под свободной поверхностью. Основополагающие результаты принадлежат М. В. Келдышу, М. А. Лаврентьеву [2] и Н. Е. Коциину [3]. Полученные ими точные решения задачи о движении вихреисточника под свободной поверхностью тяжелой жидкости дали возможность свести краевую задачу о движении профиля к интегральным уравнениям. Дальнейшие работы в этом направлении связаны в основном с развитием методов решения соответствующих интегральных уравнений.

Общий случай, когда вторая среда не является вакуумом, исследован значительно меньше. Обзор известных результатов приведен в [4].

В настоящей работе задача о движении профиля под границей раздела двух сред рассмотрена в наиболее общей постановке. Линейная краевая задача сведена к двум интегральным уравнениям, ядро которых есть точное решение для вихря. Предложен эффективный алгоритм решения этих уравнений, применимый для профилей любой толщины, включая и сколь угодно малую. Для профиля Жуковского представлены результаты расчета подъемной силы, волнового сопротивления, момента и формы границы раздела сред в зависимости от параметров задачи.

1. Рассмотрим линейную краевую задачу о движении профиля L под границей раздела двух жидкостей D_1, D_2 . Введем инерциальную систему координат Oxy , связанную с профилем, располагая ось Ox вдоль невозмущенной границы раздела сред (рис. 1). Предположим, что жидкость в слоях D_1 и D_2 идеальная, несжимаемая, тяжелая и однородная, а движение жидкости вне границы раздела и контура L стационарное и потенциальное. Обозначим: g — ускорение силы тяжести, H — отстояние передней кромки профиля от невозмущенной границы раздела сред, b — хорда профиля, α — угол атаки, ρ_k — плотность жидкости в k -м слое, $V_{k\infty}$ — скорость жидкости на бесконечности перед профилем в слое D_k ($k = 1, 2$).

Движение жидкости в каждом слое D_k описывается комплексной скоростью $V_k(z)$, $z = x + iy$. Потребуем, чтобы функции $\bar{V}_k(z)$ были аналитичны в D_k (вне L при $k = 1$) и удовлетворяли следующим граничным условиям: непрерывности давления и нормальной составляющей скорости при переходе через границу раздела двух сред, затуханию возмущенных скоростей в бесконечном удалении перед профилем в областях D_1, D_2 , условию непротекания жидкости через контур L и постулату Жуковского в задней кромке профиля.

Поставленным условиям, кроме последних двух, удовлетворяют функции

$$\bar{V}_k(z) = V_{k\infty} + \frac{1}{2\pi i} \int_L K_k(z, \zeta) \gamma(s) e^{-i\theta(s)} d\zeta, \quad k = 1, 2. \quad (1.1)$$

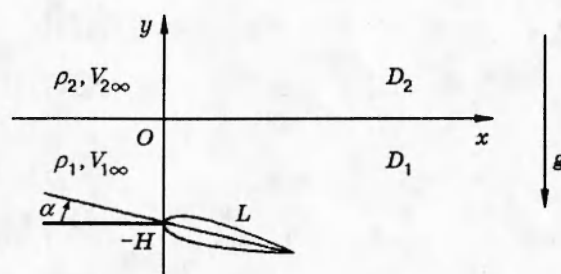


Рис. 1

Здесь s — дуговая координата точки $\zeta \in L$; $\gamma(s)$ — интенсивность вихревого слоя, моделирующего L ; $\hat{\theta}(s)$ — угол между касательной к L в точке $\zeta(s)$ и осью Ox ;

$$K_1(z, \zeta) = \frac{1}{2\pi i} \frac{1}{z - \zeta} + \frac{m_{12}}{2\pi i} \frac{1}{z - \zeta} + \frac{\nu_1 m_{12}^1}{\pi} \int_0^\infty \frac{e^{-i\lambda(z-\zeta)}}{\lambda - \nu_1} d\lambda - \nu_1 m_{12}^1 i e^{i\nu_1(z-\zeta)}; \quad (1.2)$$

$$K_2(z, \zeta) = \frac{V_{2\infty}}{V_{1\infty}} \left\{ \frac{m_{12}^1}{\pi i} \frac{1}{z - \zeta} - \frac{\nu_1 m_{12}^1}{\pi} \int_0^\infty \frac{e^{i\lambda(z-\zeta)}}{\lambda - \nu_1} d\lambda - \nu_1 m_{12}^1 i e^{i\nu_1(z-\zeta)} \right\}, \quad (1.3)$$

где

$$m_{12}^1 = \frac{\rho_1 V_{1\infty}^2}{\rho_1 V_{1\infty}^2 + \rho_2 V_{2\infty}^2}; \quad \nu_1 = \frac{y(\rho_1 - \rho_2)}{\rho_1 V_{1\infty}^2 + \rho_2 V_{2\infty}^2}; \quad m_{12} = m_{12}^1 - m_{12}^2; \quad m_{12}^2 = \frac{\rho_2 V_{2\infty}^2}{\rho_1 V_{1\infty}^2 + \rho_2 V_{2\infty}^2}.$$

Выражения (1.2), (1.3) для $K_k(z, \zeta)$ ($k = 1, 2$) представляют собой точные решения соответствующей краевой задачи для вихря единичной интенсивности [5], которые оказались более удобны, чем решение Н. Е. Коцина [3].

Условие безотрывного обтекания контура L можно записать в виде

$$\operatorname{Im}\{\bar{V}_0(z)e^{i\theta(s)}\} = 0, \quad z \in L; \quad (1.4)$$

$$-\frac{1}{2} \gamma(s) = \operatorname{Re}\{\bar{V}_0(z)e^{i\theta(s)}\}, \quad z \in L, \quad (1.5)$$

где $\bar{V}_0(z) = \bar{V}_1(z)$ при $z \in L$. При этом особый интеграл в (1.1) понимается в смысле главного значения по Коши.

Согласно [6], независимые уравнения (1.4), (1.5) сводятся к системе двух интегральных уравнений, не вырождающихся в предельном случае бесконечно малой толщины про-

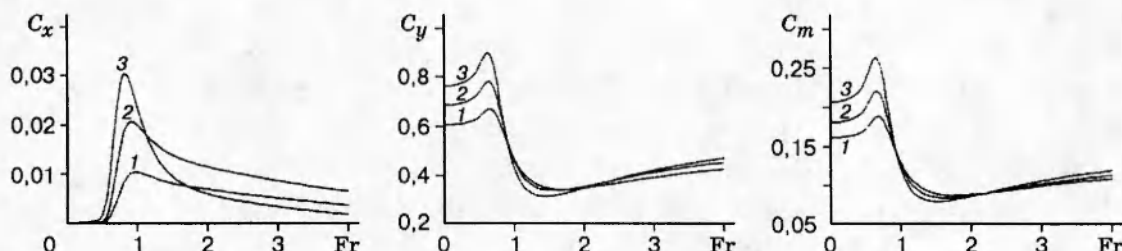


Рис. 2

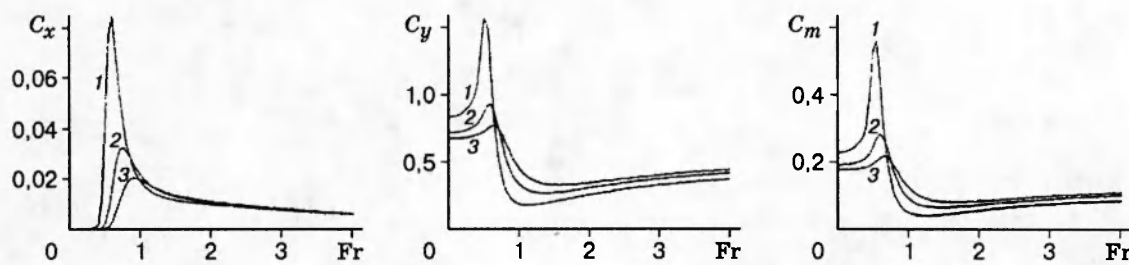


Рис. 3

филя. Метод решения такой системы уравнений в классе функций $\gamma(s)$, удовлетворяющих постулату Жуковского, изложен в [7]. Форма границы раздела двух сред определяется уравнением $y = f(x)$, где

$$f(x) = -\frac{1}{\nu_1} \operatorname{Re} \left\{ m_{12}^1 \left(\frac{\bar{V}_1(z)}{V_{1\infty}} - 1 \right) - m_{12}^2 \left(\frac{\bar{V}_2(z)}{V_{2\infty}} - 1 \right) \right\}, \quad z = x.$$

Распределение давления по профилю и суммарные гидродинамические силы R_x , R_y , а также момент M вычисляются по методике [8].

2. Расчет проводился для симметричного профиля Жуковского. Алгоритм расчета тестирулся известными решениями задачи обтекания профиля Жуковского безграничным потоком жидкости и движения пластиинки под свободной поверхностью тяжелой жидкости [9]. При этом относительная погрешность расчета не превышала 1 %.

Безразмерными параметрами задачи являются: число Фруда $Fr = V_{1\infty}/\sqrt{gb}$, отношение плотностей $\rho_* = \rho_2/\rho_1$, отношение скоростей набегающих потоков $v_* = V_{2\infty}/V_{1\infty}$, безразмерное отстояние передней кромки профиля от невозмущенной границы раздела сред $h = H/b$.

Был проведен численный эксперимент по оценке влияния этих параметров на волновое сопротивление, подъемную силу и момент относительно передней кромки профиля, движущегося под границей раздела двух тяжелых жидкостей. Основные результаты представлены на рис. 2–6.

На рис. 2 показана зависимость стандартных коэффициентов C_x , C_y и C_m от числа Фруда для относительной толщины $c = 0; 0,1; 0,2$ (линии 1–3) при $\alpha = 5^\circ$, $h = 1$, $\rho_* = 0$. Обнаружено, что вблизи значения $Fr = 1$ наблюдается существенный рост волнового сопротивления, подъемной силы и момента с увеличением толщины профиля при фиксированном отстоянии h . Аналогичный эффект имеет место с уменьшением отстояния профиля

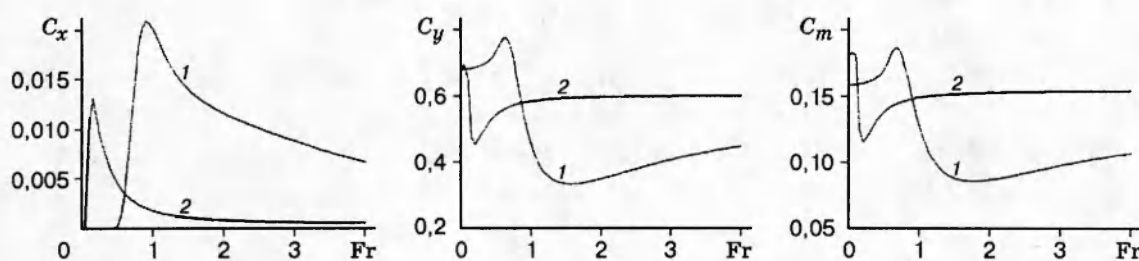


Рис. 4

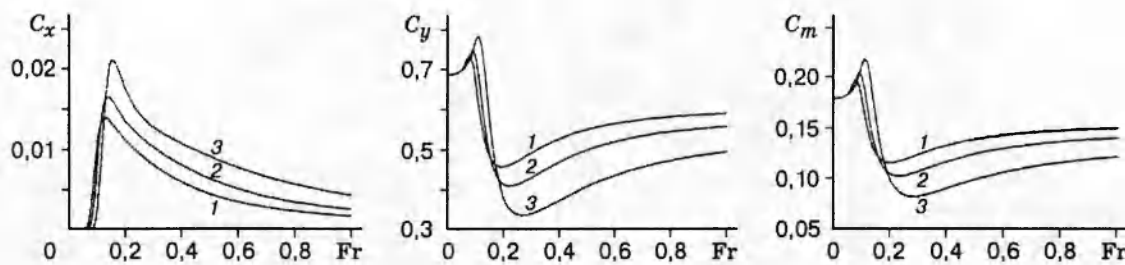


Рис. 5

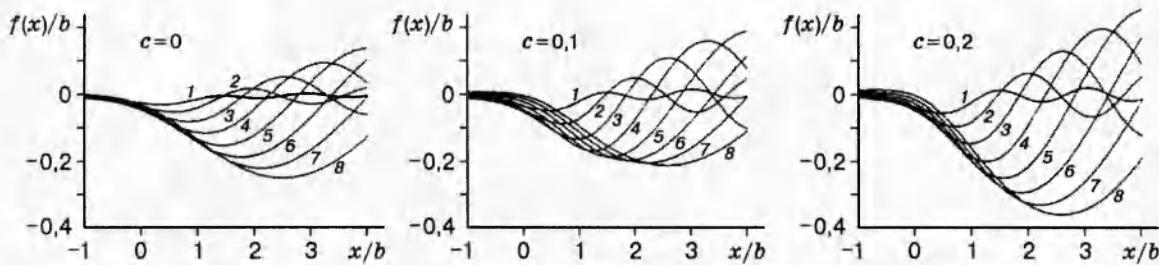


Рис. 6

от границы раздела при фиксированной толщине c (рис. 3, где $c = 0,1$, $\alpha = 5^0$, $\rho_* = 0$, $h = 0,5; 0,75$; 1 — линии 1–3). Представляет интерес сравнительная оценка зависимости C_x , C_y , C_m от Fr при $\rho_* = 0$ (свободная поверхность) и $\rho_* = 0,97$ (граница раздела между соленой и пресной водой). Соответствующие результаты расчета для $c = 0,1$, $\alpha = 5^0$, $h = 1$, $v_* = 1$ приведены на рис. 4 ($\rho_* = 0; 0,97$ — линии 1, 2). Влияние отношения скоростей набегающих потоков на зависимости C_x , C_y , C_m от Fr при $c = 0,1$, $\alpha = 5^0$, $h = 1$, $\rho_* = 0,97$, $v_* = 1,0; 0,5; 0$ (линии 1–3) показано на рис. 5.

Влияние числа Фруда на форму границы раздела иллюстрирует рис. 6 для свободной поверхности при $c = 0; 0,1; 0,2$, $\alpha = 5^0$, $h = 1$ ($Fr = 0,5; 0,6; 0,7; 0,8; 0,9; 1,0; 1,1; 1,2$ — линии 1–8).

Результаты численного эксперимента позволяют сделать следующие выводы о влиянии параметров задачи на волновое сопротивление и подъемную силу профиля. Основной характеристикой является зависимость C_x , C_y , C_m от числа Фруда. Влияние других параметров наиболее сильно при $Fr \sim 1$ и $Fr < 1$. При этом увеличение относительной толщины профиля вызывает те же эффекты, что и приближение профиля к границе раздела. Увеличение отношения плотностей ρ_* от 0 до 1 приводит к снижению волнового сопротивления при всех значениях Fr и к смещению $\max C_x$ влево, тогда как зависимость подъемной силы и момента от числа Фруда при разных ρ_* оказывается более сложной. Что касается зависимости C_x , C_y , C_m от параметра v_* , то она проявляется существенно лишь при $Fr < 0,5$.

Работа выполнена при финансовой поддержке Российского фонда фундаментальных исследований (код проекта 94-01-01049).

ЛИТЕРАТУРА

1. Басин М. А., Шадрин В. П. Гидроаэродинамика крыла вблизи границы раздела

- сред. Л.: Судостроение, 1980.
2. Келдыш М. В. О движении крыла под поверхностью тяжелой жидкости // Избранные труды: Механика. М.: Наука, 1985. С. 120–151.
 3. Кочин Н. Е. О влиянии рельефа земли на волны на поверхности раздела двух масс жидкости разной плотности (статья 2) / Собр. соч.: М.: Изд-во АН СССР, 1949. Т. 1. С. 467–477.
 4. Струрова И. В. Влияние внутренних волн на гидродинамические характеристики погруженного тела // Изв. РАН. Физика атмосферы и океана. 1993. № 6. С. 732–738.
 5. Горлов С. И. Решение линейных задач о равномерном движении вихреисточника в многослойной жидкости // Изв. РАН. МЖГ. 1995. № 3. С. 127–132.
 6. Горелов Д. Н. Об интегральных уравнениях задачи обтекания профиля // Изв. РАН. МЖГ. 1992. № 4. С. 173–177.
 7. Горелов Д. Н., Горлов С. И. Движение профиля вблизи плоского экрана // ПМТФ. 1995. Т. 36, № 1. С. 47–52.
 8. Горелов Д. Н. Расчет распределения давления вблизи передней кромки профиля в методе дискретных вихрей // ПМТФ. 1996. Т. 37, № 1. С. 114–118.
 9. Целищев В. А. Исследование влияния свободной поверхности тяжелой жидкости на стационарные гидродинамические характеристики тонкого профиля // Гидродинамика больших скоростей. Чебоксары: Чуваш. гос. ун-т. 1990. С. 143–147.

*Поступила в редакцию 24/IV 1995 г.,
в окончательном варианте — 16/VI 1995 г.*
